

## 二室型加圧鋳造機における鋳造時の鋳型空洞の圧力挙動

—鋳型温度と鋳型の大きさおよびクルシブルの形状による影響—

大川成剛 金谷貢 渡辺孝一  
中野周二 宮川修

## Pressure Behavior of the Mold Cavity in a Differential Pressure Casting Unit with Two Chambers

—Influence of Mold Temperature, Mold Size and Crucible Conditions—

Seigo OKAWA, Mitsugu KANATANI, Kouichi WATANABE,  
Syuji NAKANO and Osamu MIYAKAWA

**Keyword** : Casting mold, Permeability, Titanium, Casting pressure, Pressure casting

In a two-chamber pressure-casting system, the rate of casting pressure increase depends on the exhausting rate of argon gas in the mold. The purpose of this study was to measure the pressure change in a mold cavity after the start of casting and to investigate the influence of mold temperature and thickness on the initial rate and later value of casting pressure. Moreover, a new casting mold with an experimentally improved crucible was proposed and its influence on the casting pressure was also investigated. Regardless of crucible condition, the initial rate of casting pressure decreased with mold temperature and thickness. Although the difference in crucible condition did not significantly influence the initial rate, the improved crucible increased the later value of casting pressure.

キーワード：鋳型，通気度，チタン，鋳造圧，加圧鋳造

二室型加圧鋳造システムにおける鋳造圧の立ち上がり速度は、鋳型内のアルゴンガスがいかに速く排気されるかにかかっている。本研究では、この鋳造システムにおける鋳造時の鋳型空洞の圧力変化を測定し、鋳型の温度と大きさが鋳造圧の立ち上がり速度および一定時間経過後の鋳造圧に及ぼす影響を検討した。さらに、改良型クルシブルを提案し、それが鋳型空洞の圧力変化に及ぼす影響も検討した。その結果、高い鋳型温度と大きい鋳型では鋳造圧の立ち上がり速度が顕著に小さかった。クルシブルの形状については有意な影響は認められなかった。ただ、従来型より改良型のクルシブルのほうが高い鋳造圧が作用した。

### 緒 言

歯科におけるチタン鋳造は、遠心式、加圧式、吸引式、あるいはこれらを組み合わせた方法が一般的で<sup>1)</sup>、これらは金合金などを鋳造する従来の方法とほとんど同じである。ただ、従来の方法と異なる点は、チタンは化学的活性が大きいために、減圧下または不活性ガス雰囲気中で溶融すること、専用の埋没材を使用すること、ま

た、大きい鋳造圧を浴湯に作用させるために鋳型を高速回転させるか、あるいは大きい圧力を作用させる鋳造機構にある<sup>2,3)</sup>。チタンの鋳造が可能となったのは、このような鋳造機構や専用の埋没材の開発によるところが大きい。現在では、臨床的にある程度満足できる鋳造体が得られるものの、その品質をさらに向上させるための独自の鋳造術式が多く試みられている<sup>4,5)</sup>。しかし、その多くは術者の経験に基づいて提唱されており、鋳造体の

原稿受付 2003年7月22日、受理 2003年10月7日

新潟大学大学院医歯学総合研究科口腔生命科学専攻口腔健康科学講座歯科生体材料学分野 (〒951-8514 新潟市学校町通り二番町 5274)

Division of Dental Biomaterial Science, Department of Oral Health Sciences, Course for Oral Life Science, Niigata University Graduate School of Medical and Dental Sciences (2-5274, Gakkocho-dori, Niigata 951-8514)

品質向上もある程度期待できる場合もあるが、本質的な問題解決に至っていない。

鋳造体の品質を左右する要因は幾つかあるが、溶湯の鋳込みの駆動力としての鋳造圧も一つの重要な要因である。そこで、一室型および二室型加圧鋳造について、鋳造過程を模した室温鋳型を使って鋳造時の鋳型空洞の圧力変化を計測し、発現する鋳造圧の時間的変化を求めた<sup>6,7)</sup>。その結果、鋳造圧の立ち上がり速度とその大きさは、鋳型の通気度が大きく関係し、しかも一室型加圧鋳造と二室型加圧鋳造とでその影響が全く相反することがわかった。すなわち、一室型加圧鋳造では通気度の小さい鋳型が、二室型加圧鋳造では通気度の大きい鋳型がそれぞれ、鋳造圧の立ち上がり速度が大きく、作用する鋳造圧も大きかった。これは鋳造機構の違いを反映しており、一室型加圧鋳造では、加圧のためのアルゴンガスが鋳型壁を通って減圧状態にある鋳型空洞に進入するので、この進入が速いと背圧が高くなるために高い鋳造圧は発現しない。これに対して二室型加圧鋳造では、鋳込みと同時に鋳型内のアルゴンガスが鋳造室に排気される機構があるので、鋳造圧の発現は鋳型内のガスの排気速度が鍵となる。ところが、二室型加圧鋳造ではその構造上、鋳型内ガスの鋳造室への排気と並行して、溶解室のガスが溶解室に開放された鋳型クルシブル壁面を通して鋳型内に供給され排気されるパスもある。

しかしながら、先の報告<sup>6,7)</sup>はいずれも室温鋳型についての結果であった。実際は、高温鋳型に鋳造する場合が多く、二室型加圧鋳造では、鋳込み率が鋳型の通気度に依存すると報告されている<sup>8)</sup>。高温ではアルゴンガスの粘性係数が大きく<sup>9)</sup>鋳型内を拡散しにくくなるので<sup>10)</sup>、高温鋳型の通気度は室温鋳型の場合より小さい

ことが推測される。したがって、これが鋳型空洞の圧力変化に与える影響も検討する必要がある。そこで本研究では、二室型加圧鋳造における鋳型空洞の圧力変化、すなわち鋳造圧の発現に及ぼす鋳型の温度と大きさの影響を検討した。さらに、溶解室に開放した鋳型クルシブル壁面から鋳型内へのアルゴンガスの進入を防ぐための改良型クルシブルを提案し、それが鋳造圧の発現に及ぼす影響を検討した。

## 材料および方法

### 1. 試料の作製

前報<sup>7)</sup>と同様に直径 9.3 mm の球状ワックスパターンを用いた。鋳型の大きさの影響を検討するために、外径 34 mm で高さ 45 mm の小リング（キャスティングリング 3445, モリタ）と、外径 50 mm で高さ 45 mm の中リング（キャスティングリング 5045, モリタ）を使用し、厚さ 1 mm のセラミックスリボン（セラミックライナー、モリタ）を裏装した。それぞれのリングは対応するクルシブルフォマー（JM 34 と JM 50, モリタ）を用いて、ワックスパターンを植立した。スプレーには直径 1 mm のワックス（レディーキャスティングワックス、ジーシー）を、小リングでは長さ 13 mm、中リングでは長さ 5 mm に切断して用いた。小リングにおける鋳型壁の最小厚さは 8 mm、中リングのそれは 15 mm であった。

鋳型空洞の圧力を測定するために、外径 2 mm の金属製中空スプレー（特大スプルーピンチューブ、大栄歯科産業）を 50 mm に切断し、これを圧力導管として鋳造リングに予めあけてある穴を通して球状ワックスパターンに付着した。

チタン鋳造用埋没材（チタベスト CB、モリタ）を混液比 0.15 で真空練和し、パターンをそれぞれのリングに埋没した。鋳型の加熱はメーカーの指示に従い、900°C まで昇温後、炉内冷却して 650°C の鋳型を準備した（以下、高温鋳型という）。また、比較のために、高温鋳型を室温まで炉冷した鋳型も準備した（以下、室温鋳型という）。以下、鋳型の大きさと鋳型の温度により、小リング高温鋳型などと称する。なお、実験には目視確認によりクラックがない鋳型を使用した。

### 2. 圧力の測定

Fig. 1 に圧力測定の概略を示す。二室型加圧鋳造機（サイクラーク CS-1, モリタ）は溶解室と鋳造室の二室で構成され、両室は貫通筒でつながっている。鋳造室の扉を改造し、圧力センサー（KH15、長野計器）を取り付けた。準備した鋳型を鋳造室にセットし、鋳造室の扉を閉める際に圧力センサーと圧力導管とを O リングを介して接続した。

鋳込み前後の鋳型空洞の圧力を計測するために、鋳型クルシブルの入り口をチタン溶湯で封鎖し、かつ鋳型空洞に溶湯が流れ込まないようにした。つまり、溶湯をスプレー入り口付近で凝固させるために鋳型のクルシブル

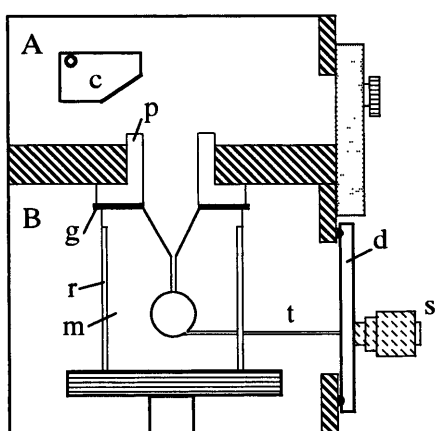
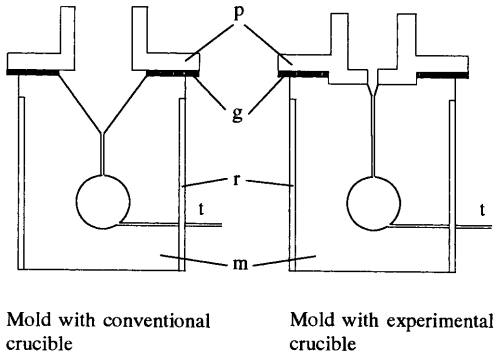


Fig. 1 Experimental setup consisting of melting A and casting B chambers

c : melting pot, p : passage, g : ceramic gasket, r : ceramic liner, m : mold, t : gas guide pipe, d : experimental casting-chamber door, and s : pressure sensor.



**Fig. 2** Molds with conventional (left) and experimental (right) crucible

Fig. 1 is referred to for the alphabet symbols.

上にチタンの細かい小片を置き、10 g のインゴット（純チタン A, モリタ）を銅ルツボ上で溶解して鋳造操作を行った。圧力センサーの出力をデジタルオシロスコープ (VP-5730A50, National) に入力し、溶湯がスプルーリー入り口を封鎖する直前から鋳込み後 0.5 s の間、鋳型空洞の圧力に相当する電圧の変化を記録した。次に、オシロスコープの画面にデジタル表示される電圧を一定の時間間隔で読みとり、圧力センサーの電圧 - 圧力の関係式から鋳型空洞の圧力を換算した。それぞれの条件で 5 個の鋳型を作製して測定し、平均と標準偏差を求めた。なお、溶解室と鋳造室の圧力は標準的な値、つまり絶対圧力でそれぞれ  $2.65 \text{ kgf/cm}^2$ ,  $0.16 \text{ kgf/cm}^2$  に設定した<sup>7)</sup>。

### 3. 鋳型クルシブルと貫通筒の改良

二室型加圧鋳造では、一般に、鋳型クルシブル壁が V 字形に溶解室側に開放されている（以下、従来型クルシブルという）。そのため、スプルーリーの入り口がチタン溶湯で封鎖された後も溶解室のアルゴンガスがこの開放面から鋳型に進入し、これが鋳型内ガスの排気を遅らせることが示唆された<sup>7)</sup>。そこで、このガスの進入を最小限にするために鋳型クルシブルと貫通筒の形を改良した。その概略を従来型クルシブルとともに Fig. 2 に示す。鋳型クルシブルと貫通筒をこのように改良することで（以下、改良型クルシブルという），溶解室からのガスの進入が鋳型空洞の圧力挙動に及ぼす影響、つまり改良型クルシブルの効果を評価するため、従来型クルシブルと同様に、鋳型空洞の圧力変化を検討した。なお、リングの大きさは従来型の場合と同じであるが、鋳型体積は改良型クルシブルのほうが大きい。

### 4. 統計解析

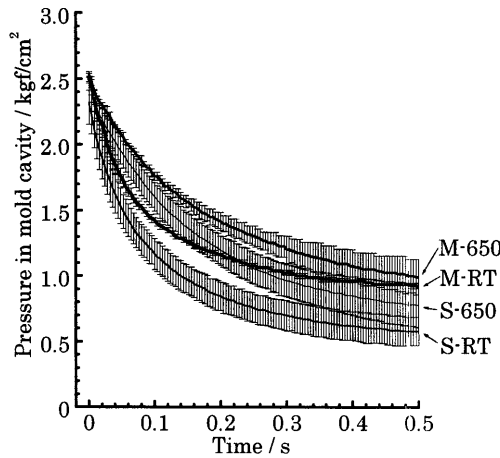
得られた結果を鋳型温度と鋳型の大きさおよび鋳型クルシブルについて三元配置分散分析にて検定した。

## 結果

### 1. 鋳型空洞の圧力変化

#### 1) 従来型クルシブルの場合

従来型クルシブルの場合について鋳型空洞の圧力の変



**Fig. 3** Pressure reduction in mold cavity for conventional crucible

The melting-chamber pressure was preset at  $2.65 \text{ kgf/cm}^2$ . S and M mean small- and medium-sized rings, respectively. RT and 650 mean molds held at room temperature and  $650^\circ\text{C}$ , respectively. Vertical lines represent SD.

化を Fig. 3 に示す。鋳込み直前、つまりスプルーリーが閉鎖される直前の圧力（以下、初期圧という）は溶解室の設定圧力 ( $2.65 \text{ kgf/cm}^2$ ) に比べて、小リング室温鋳型だけが約  $0.3 \text{ kgf/cm}^2$  低い値を示し、その他の鋳型では約  $0.1 \text{ kgf/cm}^2$  低い値を示した。

チタン溶湯が鋳型クルシブルに落下し、スプルーリーを閉鎖すると、鋳型空洞は急速に減圧された後、次第に穏やかに減圧されていった。ただ、鋳込み直後を詳細に観ると、中リング室温および高温鋳型では、鋳込みからおよそ  $0.02 \text{ s}$  後に圧力の減少が一時的に停滞したことがわかる。初期の圧力減少速度は、中リングより小リングが、また高温鋳型より室温鋳型がそれぞれ大きかった。鋳込みから  $0.5 \text{ s}$  後において、室温鋳型の空洞の圧力は最終値にほぼ到達したのに対して、高温鋳型ではまだ緩やかな減少が続いていた。

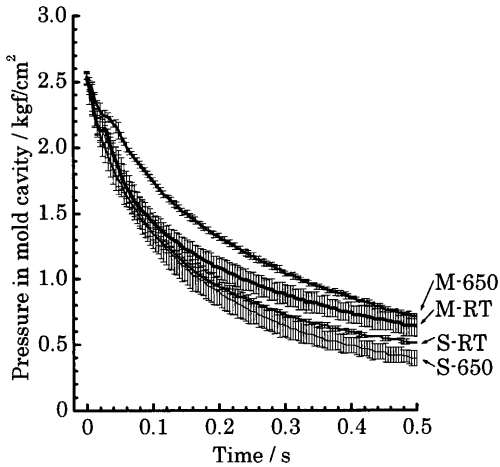
#### 2) 改良型クルシブルの場合

改良型クルシブルの場合について、鋳型空洞の圧力変化を従来型クルシブルの場合と同様に Fig. 4 に示す。すべての鋳型で鋳型空洞の初期圧は溶解室の設定圧力に比べて約  $0.1 \text{ kgf/cm}^2$  低い値を示した。

鋳込み後の鋳型空洞の圧力変化は従来型クルシブルの場合と似た傾向を示した。ただ、改良型クルシブルの場合は、中リング室温と高温鋳型で、 $0.02 \text{ s}$  付近における圧力減少の一時的停滞が明瞭に現れた。また、測定の最終時点 ( $0.5 \text{ s}$ ) においても圧力の緩やかな減少が続いていた。

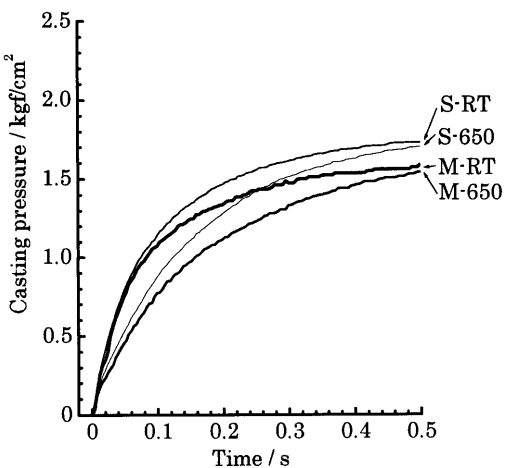
### 2. 鋳造圧

鋳型空洞の測定圧と初期圧との差を鋳造圧として求め、その平均を従来型クルシブルについて Fig. 5 に、改



**Fig. 4** Pressure reduction in mold for experimental crucible

The melting-chamber pressure was preset at 2.65 kgf/cm<sup>2</sup>. Figure 3 is referred to for the experimental group codes. Vertical lines represent SD.



**Fig. 5** Time vs. casting pressure curves for conventional crucible

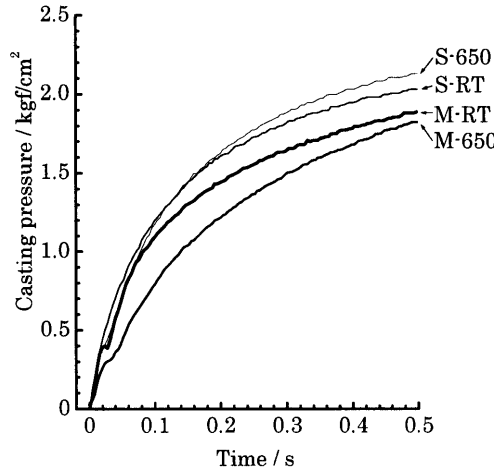
The melting-chamber pressure was preset at 2.65 kgf/cm<sup>2</sup>. Five measurements were averaged for each group. Figure 3 is referred to for the experimental group codes.

良型クルシブルについて Fig. 6 にそれぞれ示す。鋳込み後 0.02 s 付近まで急速に上昇してから、一時的に停滞した。その後は時間とともに上昇速度を低下させながらそれぞれの最終到達圧力の値に近づいた。圧力上昇の一時的な停滞の程度は改良型クルシブルのほうが顕著で、鋳型温度や大きさにもよるが、0.02~0.03 s 停滞するか、あるいは一時的に減少する場合もあった。

## 考 察

### 1. 鋳型空洞の圧力変化

溶湯がスプルーを閉鎖し鋳型空洞に流入しない場合の



**Fig. 6** Time vs. casting pressure curves for experimental crucible

The melting-chamber pressure was preset at 2.65 kgf/cm<sup>2</sup>. Five measurements were averaged for each group. Figure 3 is referred to for the experimental group codes.

鋳型空洞の圧力変化を求めた。いま、粘性係数  $\eta$  の流体が厚さ  $L$  の媒質によって 2 室に隔てられ、その圧力差が  $\Delta P$  の時、この媒質を通過する流体の流量  $Q$  は次式で表される<sup>10)</sup>。

$$Q = (K/\eta) \cdot (A/L) \cdot \Delta P \quad (1)$$

ここで、 $A$  は媒質の断面積、 $K$  は媒質に依存する定数である。この式から、流量は媒質の厚さと流体の粘性係数にそれぞれ反比例することがわかる。そこで、本実験の結果を (1) 式によって考察する。

溶解室の設定圧力に比べて初期圧は 0.1~0.3 kgf/cm<sup>2</sup> 低かった。これは溶解室のアルゴンガスが鋳型を通って鋳造室に排気されるためである。(1) 式によれば、溶解室から鋳型を経て鋳造室に引かれるガス量は、排気パスの長い中リングよりも小リングが、ガスの粘性係数が大きい高温鋳型よりも室温鋳型が、また、溶解室に露出する面積が小さい改良型クルシブルよりも従来型クルシブルが、それぞれ大きいことになる。従来型クルシブルで小リング室温鋳型の場合に初期圧が最も低かったのは、これらのためと考えられる。

次に、鋳型壁の厚さが鋳型空洞の圧力減少速度に及ぼす影響について考察する。小リングと中リングを鋳型壁の最小厚さで比較するとその比は 8:15 である。これを(1)式に代入すると、ガスの粘性係数が一定の場合、厚い鋳型壁を透過するガス量は薄い鋳型壁の場合の 0.5~0.6 倍と見積もられる。確かに本実験でも、中リングより小リングのほうが鋳型空洞は速く減圧されたが、(1)式が示唆するほど大きな違いは認められなかった。これは次のように考えることができる。もともと、(1)式は流体が媒質を通して一方から他方の室へ流れる過程を記述するもので、前節で述べた溶解室から鋳造室のパスに

対して直接適用できる。しかしながら鋳込み後、つまりスプレー閉鎖後は溶解室のガスの鋳造室への流れを除外すると、鋳型内に存在するガスの排気過程である。鋳型壁の厚さもさることながら、鋳型内のガス量、つまり鋳型体積の大きさが鋳型空洞の減圧速度を律する重要な因子と考えられる。本実験を鋳型体積の観点からみると、同じ大きさのリングでも、改良型クルシブルではクルシブルが小さい分だけ鋳型体積が大きいことに留意する必要がある。また、従来型クルシブルでは、既に指摘したように、溶解室に開放した鋳型クルシブルの壁面を通って鋳造室に流れるガスも鋳型内ガスの排気過程に影響するのに対して、改良型クルシブルではそのようなガスの流れは考える必要がない。いずれにしても、鋳型内ガスの排気過程は幾つかの要因によって支配されていることがわかる。

次に鋳型温度の影響について述べる。チタン溶湯が鋳込まれたとすると、鋳型空洞や鋳型内のアルゴンガスの温度が上昇して粘性係数が大きくなることが推測される。ガスの温度を 650°C とするとその粘性係数は室温の約 2.5 倍<sup>9)</sup> になるので、流量は室温でのそれの約 0.4 倍と見積もることができる。前述のように、(1) 式を鋳型内ガスの排気過程に直接適用するのは無理があるし、鋳型空洞と鋳造室の圧力差、およびガスの温度は時間とともに変化する。それにもかかわらず、従来型クルシブルについては、リングの大きさにかかわらず、高温鋳型の初期の圧力減少速度は室温鋳型のそれの約 0.6 倍で、(1) 式が示唆する値にかなり近かった。

多くの場合において、鋳込みから約 0.02 s 後に、鋳型空洞圧力の減少が一時的に停滞した。これは、チタン溶湯の熱で鋳型のガスが熱膨張しその圧力が一時的に高まったためと考えられる。この停滞の程度は、高温鋳型よりも室温鋳型で、小リングよりも中リングで、また、従来型クルシブルよりも改良型クルシブルでそれぞれ顕著であった。これらの結果は次のように説明することができる。高温鋳型より室温鋳型のほうがチタン溶湯との温度差が大きいのでガスの膨張は大きい。また、大きい鋳型はそれだけ多量のガスが存在することに加えて、排気バスも長いのでガスの排気に時間がかかる。これらはいずれも背圧を一時的に高める方向に働く。溶湯が接した鋳型壁付近のガス圧は一時的局的に溶解室の圧力を上回ると考えられる。その場合でも従来型クルシブルでは、この高圧ガスの一部は溶解室に開放した鋳型クルシブルの壁面から溶解室に逆流し、そのために背圧の一時的上昇は多少とも緩和されると考えられる。ところが、改良型クルシブルでは、鋳型クルシブル壁面が溶解室に開放されていないので、そのような逆流はほとんど起これない。さらに本実験の場合は、同じ大きさのリングでも改良型クルシブルのほうが鋳型体積は大きいので、より多くのガスが膨張する。鋳型空洞の圧力の一時的な停滞もしくは減少が改良型クルシブルにおいて顕著に現

れた理由がこれらによって説明できる。また、クルシブルの形状が鋳込み率に影響する<sup>11)</sup> 一因もここにあると推測される。

鋳込み直後の圧力の急速な減少期を過ぎると、圧力はその減少速度を時間とともに低下させながら、最終値に向かって減少した。本来であれば、鋳型空洞の圧力は排気中の鋳造室の圧力（本実験では 0.16 kgf/cm<sup>2</sup> に設定）に近づくはずである。ところが、従来型クルシブルの場合には、排気条件が最もよいと考えられる場合でも、鋳型空洞の圧力は 0.50 kgf/cm<sup>2</sup> 以下にならなかった (Fig. 3)。これは、溶解室に開放した鋳型クルシブルの壁面から溶解室のガスが鋳型内に進入して鋳造室に排気されるためである。溶解室から鋳型への進入量と、鋳型から鋳造室への排気量とが釣り合う点が最終到達圧力になる。そして、室温鋳型では比較的に早期に最終圧力に到達したが、高温鋳型では測定時間内では最終値に到達しなかった。これはガスの粘性の温度依存性が関係したと考えられる。一方、改良型クルシブルでは溶解室のガスが鋳型内に進入しにくい構造のため、従来型クルシブルの場合の最終値よりも低い値に向かって徐々に減少し続け、測定時間内では最終値に至らなかった (Fig. 4)。

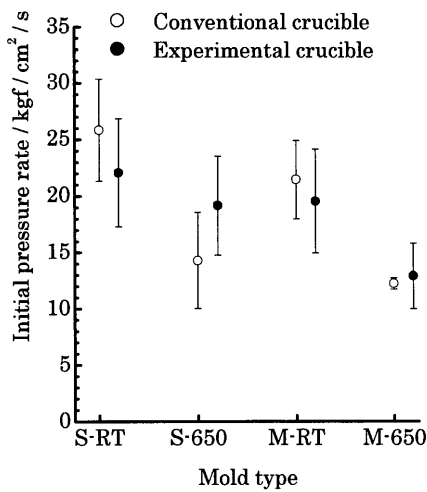
## 2. 鋳造圧の立ち上がり速度

鋳型内のアルゴンガスが急速に排気されないと、鋳造圧の立ち上がり速度が小さく、複雑な鋳造体では鋳込み不足になりやすい。そこで、鋳造圧の立ち上がり速度を定量的に評価した。

鋳型空洞の圧力曲線 (Fig. 3, 4) からもわかるように、鋳込みから約 0.02 s 後に鋳造圧の上昇が一時的に停滞した (Fig. 5, 6)。そのため、前報<sup>7)</sup> で行ったように、この圧力曲線を BoxLucas 型関数にフィットさせて鋳造圧の立ち上がり速度を評価することは合理的でない。そこで、鋳込み開始から鋳造圧の停滞が起きる直前までの間、すなわち 0~0.02 s 間について、時間 - 鋳造圧曲線を直線近似して鋳造圧の立ち上がり速度を求めた。その結果を、鋳型の大きさと温度およびクルシブル形状との関係として Fig. 7 に示す。

鋳型の大きさと温度は鋳造圧の立ち上がり速度に有意に ( $p < 0.05$ ) 影響したが、クルシブル間では有意差は認められなかった。従来型クルシブルについては、いずれのリングでも、鋳造圧の立ち上がり速度は高温鋳型よりも室温鋳型のほうが約 1.8 倍大きかった。これは前述のように、アルゴンガスの粘性つまり鋳型透過能の温度依存性の反映とみることができる。一方、鋳型の体積が大きいと排気すべきガス量が多くなる。小リングより中リングの鋳造圧の立ち上がり速度が小さいのは、既に述べたように、排気バスが長いことと、鋳込み直前において鋳型内に存在するガスが多量であるためと考えられる。

鋳造圧の立ち上がり速度に対するクルシブル形状の影響に関しては、帰無仮説は棄却されなかった。改良型ク



**Fig. 7** Influence of mold conditions on initial rate of casting pressure

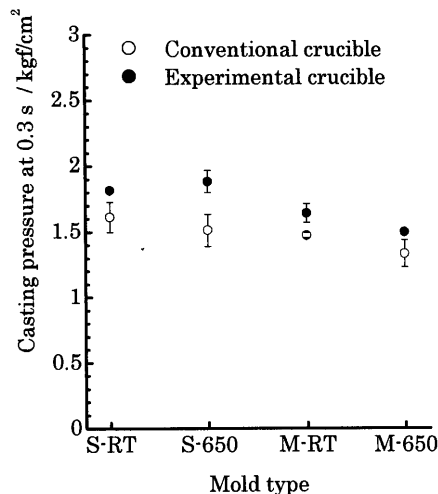
Fig. 3 is referred to for the experimental group codes.

ルシブルでは、溶解室から鋳型へのガスの進入が断たれるので、これは鋳造圧の立ち上がり速度を大きくする方向に働くが、0~0.02 s の時間においてその効果が現れるか否かはわからない。一方、鋳型から溶解室へのガスの逆流も断たれるので、ガスの熱膨張によって背圧が高くなりやすい。鋳造圧の立ち上がり過程を詳細に観ると、鋳型の大きさや温度にもよるが、背圧が鋳造圧の立ち上がりに及ぼす影響は0.02 s 以前において現れ始める場合もあり、これは鋳造圧の立ち上がり速度を下げる方向に働く。また、本実験では改良型と従来型クルシブルとで同じ高さのリングを使用したため、前者のほうが鋳型の体積は大きく、これも鋳造圧の立ち上がり速度を下げる要因になり得た。このように、これらの要因が複雑に絡み合い、結果としてクルシブル形状の影響は有意でなかった。

### 3. 鋳造圧の評価

チタン溶湯が鋳型空洞を満たす時間は、大川ら<sup>12)</sup>や、鶴田ら<sup>13)</sup>の報告によれば、パターン形状や大きさによって0.05~0.3 sの範囲にある。そこで、ここでは鋳込み後0.3 sにおける鋳造圧に着目し、これを鋳型の大きさと温度およびクルシブル形状との関係をFig. 8に示す。鋳型の大きさと温度およびクルシブルの形状は0.3 s時点の鋳造圧に有意に( $p < 0.05$ )影響した。また、鋳型の大きさと温度については交互作用が認められた。

従来型クルシブルの場合、0.3 s時点の鋳造圧は室温鋳型では最終値にほぼ到達していたが、高温鋳型では室温鋳型の鋳造圧に向かって緩やかな上昇がまだ続いていた。鋳型温度が0.3 s時点の鋳造圧に有意に影響する結果が得られたのは、最終段階と変化の途中とを比較したためである。結局、最終到達圧は鋳型温度に関係なくて鋳型の大きさだけに依存し、中リングに比べて小リング



**Fig. 8** Influence of mold conditions on casting pressure attained at 0.3 s after the start of casting

Fig. 3 is referred to for the experimental group codes.

のほうが約0.3 kgf/cm<sup>2</sup>高いことがFig. 5によって推測される。

改良型クルシブルでは0.3 s時点の鋳造圧は従来型クルシブルのそれより0.3~0.4 kgf/cm<sup>2</sup>大きく、しかもまだ上昇が続いている。0.3 sより時間が経過すると、改良型と従来型クルシブルとの間では鋳造圧の差はさらに大きくなる。これは溶解室のガスが鋳型に進入しないように改良したクルシブルの効果を示している。

### 4. 改良型クルシブルの効果

鋳造圧の要件は、初期に大きな鋳造圧が溶湯に作用し、しかもそれが持続することである<sup>14)</sup>。改良型クルシブルと従来型クルシブルとで、0~0.02 s間における鋳造圧の立ち上がり速度に有意差は認められなかった(Fig. 7)。一方、鋳造圧の持続に関しては、改良型クルシブルのほうが鋳造圧は大きく、この点では改良型クルシブルのほうが勝る(Fig. 8)。

しかしながら、0.02 s以後の一時期はガスの熱膨張によって背圧が高まり、それが鋳造圧の上昇を一時的に停滞させもしくは降下させる。改良型クルシブルではそれが従来型クルシブルに比較すると顕著である。このマイナスの影響を評価することは困難であるが、大きな鋳型の場合はこの停滞または降下時間が長くなるので、注意が必要かもしれない。このような背圧の影響を小さくする方法の一つは、鋳型に溶解室のガスが入らないようにシールし減圧状態にしておくことである。都賀谷ら<sup>15)</sup>によるダイヤフラム方式やコーンタイプ遮蔽箱でシールするWatanabeら<sup>16)</sup>の方法は、この意味でも優れている。

ただし、改良型クルシブルの効果は鋳造圧に限定すべきでないと考える。溶解室や鋳型内のガスはいろいろの

パスを通って铸造室に排気されるが、铸造型空洞を通過して排気されるパスも考えられる。チタン溶湯が铸造型空洞を満たす過程でこれが同時に起きると、それは铸造体へのガスの巻き込みにつながる可能性がある。この点に関しては、改良型クルシブルでは溶解室から铸造型へのガスの供給は断たれるから、このような内部欠陥の発生は大いに抑制されると考えられる。本実験は内部欠陥の発生機構を検討すべくデザインしてなかったので、ここでは改良型クルシブルのこの長所を直接的に検証することはできないが、高い可能性として指摘しておく。

## 5. 二室型加圧铸造に適する铸造型の条件

以上のように、铸造型の大きさと温度およびクルシブルの形状が铸造圧の発現に関係するので、二室型加圧铸造に適する铸造型の条件について考察する。

同じ大きさの铸造型では、室温铸造型にすると铸造圧の立ち上がり速度が大きく、改良型クルシブルであれば時間経過とともに高い铸造圧が作用することが期待される。ところが、室温铸造型では铸造収縮の補償が困難であるため、今のところ、高温铸造型に铸造するのが一般的である。したがって、本実験の結果が示すように、室温铸造型に比べて高温铸造型では、铸造圧の立ち上がり速度がかなり小さい（約55%）ことに留意する必要がある。高温铸造型において铸造型内のガスを速く排気するために、铸造型壁の厚さをコントロールすること、つまりベントを付与することによって铸造型の見かけの通気度を大きくすることが一つの方策と考えられる。また、铸造物によっては、高い铸造圧が発現する改良型の铸造型クルシブルの採用も検討に値する。

従来、埋没材の材料設計に当たってはチタンとの反応性を中心に考えられてきた。しかしながら、二室型加圧铸造では铸造圧の発現に大きく影響する铸造型の通気度の重要性から、高温における铸造型の通気度をもっと重視すべきである。

## 結論

二室型加圧铸造における铸造型空洞の時間-圧力曲線を求めて、铸造型の大きさと温度が铸造圧の発現に及ぼす影響、およびクルシブルの形状について検討し、本実験で得られた結論を以下に示す。

- 铸造圧は铸造込みと同時に急速に上昇し、時間とともに次第に緩やかに上昇した。ただ、铸造込みから約0.02s後に铸造圧は一時的に停滞もしくは下降した。これはチタン溶湯の熱によって铸造型内のアルゴンガスが膨張して背圧が高くなるためで、小リングより中リングが、また高温铸造型より室温铸造型において顕著であった。

- 小リングのほうが铸造圧の立ち上がり速度は大きかった。

- クルシブルの形状にかかわらず、高温铸造型の铸造

圧の立ち上がり速度は室温铸造型のそれに比べて小さかった。これはアルゴンガスの粘性が温度ともに大きくなるためである。

- 溶解室から铸造型へのガスの進入を遮断する改良型クルシブルでは、铸造込みからの時間が経過するほど、従来型クルシブルに比べて大きい铸造圧が作用した。

## 謝辞

データや文献等の整理にご協力いただいた本間ヒロ技官に御礼申し上げます。

## 文献

- 浜中人士. 第Ⅲ章 チタンの歯科铸造技術 4. チタン用铸造機. 井田一夫, 三浦維四. チタンの歯科利用. 初版: クインテッセンス; 1988. p 43-109.
- 渡辺孝一, 大川成剛, 金谷 貢, 宮川 修. チタン歯科铸造の現状—铸造機の特徴と利用技術—. 新潟歯学誌 2001; 31: 129-139.
- 渡辺孝一. 別冊チタンの歯科技工 Part 2 歯科チタン铸造の現状と問題点. クインテッセンス; 2002. p. 38-50
- 松井義和, 藤瀬武人. 当社における純チタン铸造の現状. 第1回国際歯科チタン技工シンポジウム講演集. 2001; 10.
- 相馬一志. 一室型加圧铸造システムを用いたチタン铸造. 第1回国際歯科チタン技工シンポジウム講演集. 2001; 11.
- 大川成剛, 渡辺孝一, 金谷 貢, 中野周二, 宮川 修. 铸造時の铸造型空洞の圧力挙動—一室加圧型铸造铸造機の場合—. 歯材器 2000; 19: 108-114.
- 大川成剛, 渡辺孝一, 金谷 貢, 中野周二, 宮川 修. チタン铸造時の铸造型空洞の圧力挙動—二室加圧型铸造铸造機の場合—. 歯材器 2003; 22: 37-44.
- 米田隆紀, 黒岩昭弘. 铸造型の通気性および铸造圧がチタンの铸造率に及ぼす影響. 歯材器 1999; 18: 79-88.
- 日本化学会編. 化学便覧基礎編II改訂3版: 丸善; 1984. p. II-38.
- 窯業協会編. 窯業工学ハンドブック. 新版: 技報堂; 1966. p. 409.
- 井上義久, 黒岩昭弘, 大野孝文, 荒川仁志, 杉藤庄平, 米田隆紀ほか. 湯口の条件がチタン铸造の铸造性に及ぼす影響. 歯材器 1995; 14: 605-612.
- 大川成剛, 渡辺孝一, 金谷 貢, 中野周二, 宮川 修, 小林正義. チタンの铸造時間の測定—一室加圧型铸造铸造機の場合—. 歯材器 1995; 14(特25): 136-137.
- 鶴田昌三, 松波一郎, 小山憲一, 紀藤政司, 金 明媛, 長谷川二郎ほか. 高融点合金铸造時の湯流れの直接観察. 歯材器 1992; 11(特19): 110-111.
- 長谷川二郎. 歯科技工士教本歯科铸造学. 第1版: 医歯薬出版; 1978. p. 97.
- 都賀谷紀宏, 後藤秀明, 一木吉之介, 桑村康彦, 井田一夫ほか. チタン铸造体の铸造欠陥に関する研究. 第2回国際チタンの歯科利用に関する研究会講演抄録集 1987: 12-13.
- Watanabe K, Okawa S, Kanatani M, Nakano S, Miyakawa O, and Kobayashi M. New Partition Technique for two-chamber pressure casting unit for titanium Dent Mater J 2000; 19: 307-316.